

УДК 544.576:532.14

**А.Е. Афанасьев, А.С. Ефремов**

## **ВЗАИМОСВЯЗЬ ПЛОТНОСТИ СВЯЗАННОЙ ВОДЫ ТОРФА С ЕЕ АНОМАЛЬНЫМИ СВОЙСТВАМИ**

На основе разработанного метода определения плотности связанной воды при сушке коллоидных и капиллярно-пористых тел сделана попытка качественного объяснения ее связи с аномальными свойствами свободной и связанной воды с помощью предлагаемой технологической модели, отражающей изменение концентрации кластеров и неассоциированных молекул в свободной и связанной воде в зависимости от температуры среды. Рассмотрено предложение по управлению свойствами жидкости через изменение концентрации ее элементов структуры. Показано, что одинаковая плотность свободной и связанной воды может наблюдатьсся при различной структуре (разной температуре), т.е. неодинаковом количестве кластеров и неассоциированных молекул. В этой связи плотность воды носит больше технологический смысл нежели физико-химический.

Ключевые слова: торф, связанная вода, аномалия, структура, технология.

---

**С**уществует большое количество различных теорий и моделей, объясняющих структуру и свойства свободной воды. Причем свойства и значения плотности связанной воды встречаются довольно редко. В наших работах этот вопрос подробно рассмотрен на примере торфяных систем [1—4]. Разработан метод расчета и, впервые, получены значения плотности  $\rho_{ж}$  жидкости при сушке торфа различной дисперсности и температуры  $T$ , отличающихся от табличных  $\rho_0$  значений, для соответствующих периодов ( $i = 1, 2$ ) структурообразования  $\rho_{ж} = (0.81-1.32) \cdot 10^3 \frac{кг}{м^3}$  ( $i = 1, 2$ ). Причем для  $i = 1$   $\rho_{ж} = 1.16 \cdot 10^3 \frac{кг}{м^3}$ , а для  $i = 2$ ,

$$\rho_{ж} = 1.32 \cdot 10^3 \frac{кг}{м^3} \text{ при } T_{ж} = 308 - 313 \text{ К,}$$

что соответствует максимуму значений в каждом из периодов структурообразования. Это обстоятельство определяется видом взаимодействия между элементами структуры (свя-

зи Ван-дер-Ваальса,  $i = 1$ ; и Н-связи,  $i = 2$ ) и ее подвижностью с ростом  $T$ . При  $T_h \approx 343 \text{ К}$  Н-связи разрушаются и преобладает только молекулярные.

В случае переработки  $Z$  торфа в шнековом устройстве при  $T_i = \text{const}$  плотность жидкости растет от  $0.81 \cdot 10^3$  (без переработки,  $z = 0$  раз) до  $1.03 \cdot 10^3$  (с переработкой,  $z = 25$  раз) в первом ( $i = 1$ ) и с  $0.92 \cdot 10^3$  до  $1.2 \cdot 10^3 \frac{кг}{м^3}$  — во втором ( $i = 2$ ) периодах структурообразования. Следовательно,  $\rho_{ж}$  растет с повышением дисперсности торфяных систем. Так как  $S_0$  пропорционально степени разложения торфа, то можно предположить, что  $\rho_{ж}$  в торфяных залежах естественного залегания будет уменьшаться с понижением степени разложения торфа за счет более рыхлой структуры воды из-за изменения концентрации  $C_i$  ассоциатов и снижения взаимодействия молекул воды с функциональными группами торфа [5]. Полученные значения  $\rho_{ж}$  находят-

ся в соответствии с данными для глин,

$$\rho_{ж} = (0.9-2.4) \cdot 10^3 \frac{\text{кг}}{\text{м}^3} \quad [6].$$

Состояние твердой фазы можно оценить и с технологических характеристик (помимо прочности  $R_i$  структуры и ее энергии связи  $E(W)$ ) с позиции изменения  $\rho_{ж} = f(n)$  ( $n$ -пористость структуры торфа). Было установлено [13], что  $\rho_{ж} = f(n)$  проходит через максимум соответственно для первого ( $n_{\max} = 0.85$ ) и второго ( $n_{\max} = 0.53$ ) периодов структурообразования.

Такое изменение  $\rho_{ж}$  вызвано тем, что если в свободном состоянии вода подчиняется силам тяжести, передает гидростатическое давление, мало сжимаема [7, 8], то в связанном состоянии на структуру и плотность воды влияет минералогический состав торфа, связанный с первичной (менее 15 %) и привнесенной (вторичной) золой, определяемой окислами  $SiO_2$ ,  $CaO$ ,  $Fe_2O_3$ ,  $Al_2O_3$  (около 80 % золы). Наличие в торфе ионов  $Ca$ ,  $Fe$ ,  $Mg$ ,  $K$ ,  $Na$ ,  $S$  значительно изменяет его физико-химические и технологические свойства [9, 10].

Групповой химический состав органической части торфа (легкогидролизуемые и водорастворимые, битумы, гемицеллюлоза, гуминовые и фульво-кислоты, целлюлоза, лигнин) определяет направление переработки и использования получаемой продукции, а также физико-химические (гидрофильтрность, плотность, прочность) и технологические (крошимость, водопоглощение, устойчивость к внешним воздействиям при хранении и сбыте продукции) свойства, проявляющиеся при структурировании связанной воды [1—4]. Последнее проявляется как на границе с воздухом, так и в торфяных пористых системах под действием поверхностных (молеку-

лярных) дальнодействующих сил, создаваемых осцилирующими атомами или молекулярными диполями, а также за счет диссоциации поверхностных ионогенных групп ( $OH^-$ ,  $COOH^-$ ,  $NH_3^+$  и др.) [5, 7, 11, 12]. В этой связи структурирующим фактором в капиллярно-пористом теле служит твердая фаза с ее многообразием ионов и функциональных групп, определяющих плотность прилегающих слоев воды. На плотность жидкости в порах торфа оказывают влияние также жидкие (различной плотности) и примеси механического и растительного происхождения, естественная (выделение газа в болотообразательных процессах), при разложении кристаллогидратов в водоемах и искусственная газификация, когда пузырьки газа диспергируют ее и замещают плотную жидкость газовой средой.

Рассмотренные особенности поведения связанной жидкости в зависимости от температуры  $T$ , дисперсности  $S_0$ , общей пористости  $p$  показывают различную степень ее физико-химической активации [1—4], что должно отразиться и на аномальных свойствах воды вследствие изменения содержания ассоциированных (кластеров) и неассоциированных молекул. Для этого воспользуемся обобщающей характеристикой — плотностью связанной и свободной воды в зависимости от температуры.

В связи с тем, что молекулярную структуру воды невозможно определить экспериментально прибегают к другим методам исследования и прежде всего к различным видам моделирования [13—14]. Поэтому целью настоящей работы является оценка аномальных свойств воды с позиции разработки технологической модели, включающей относительное измене-

ние содержания кластеров в воде при различных  $T$ , представленных в виде сферической формы частиц двух сортов:  $d_1$  — отдельные молекулы,  $d_2$  — кластеры. Причем  $d_2 \gg d_1$ . Доля (концентрация)  $C_i$  ( $i = 1, 2$ ) частиц в общей массе меняется от 0 до 100%. Так что общее число частиц  $N_i$  при  $T_i = \text{const}$  будет равно  $N_i = N_1 + N_2$ . Их доля соответственно составит:

$$C_1 = \frac{N_1}{N_i}, \quad C_2 = \frac{N_2}{N_i}, \quad C_1 + C_2 = 1.0$$

### Теоретический анализ

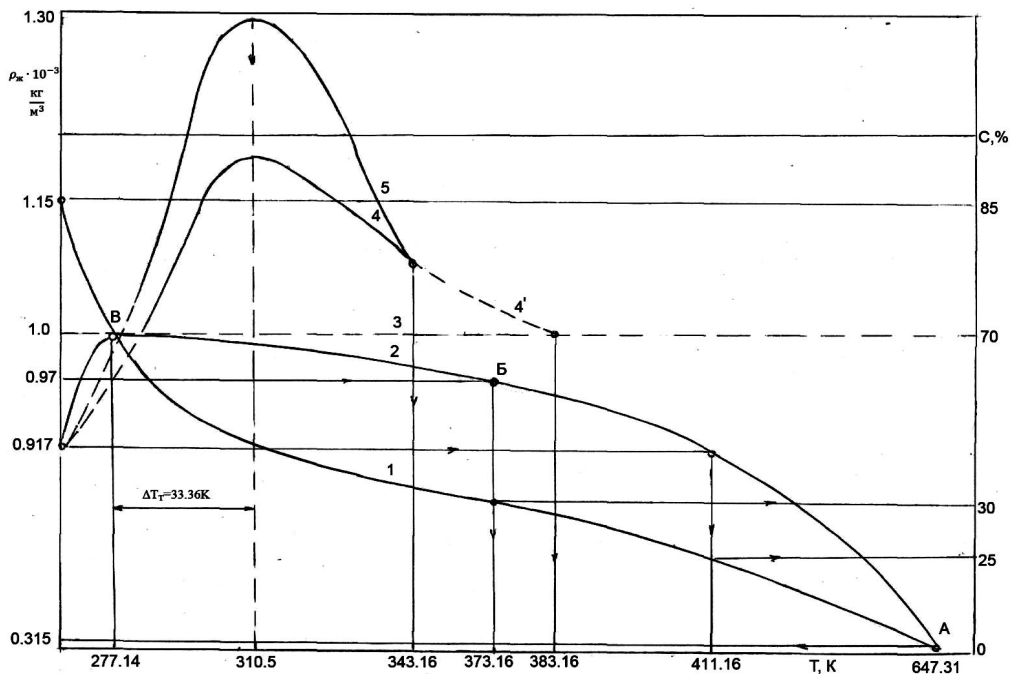
Вода встречается в различных физических состояниях в девяти устойчивых изотопных видах. В молекуле воды атомы водорода и кислорода образуют валентный угол Н-О-Н в  $100.7^\circ$ [13] так, что создаются диполи, которые объединяются в ассоциаты с общей формулой  $(H_2O)_n$  и образуют циклическое, цепочечное и ветвистое строение (тетраэдрический ассоциат) воды с ковалентными и водородными связями. Имеется и другое деление структуры молекул воды: угловая, шаровая, тетраэдрическая [13]. В этой связи под ассоциацией необходимо понимать взаимодействие близких по природе молекул с образованием относительно неустойчивых групп-ассоциатов, в которых молекулы связаны Ван-дер-Ваальсовыми, диполь-дипольными и др. силами с переносом заряда, включая H-связь. Причем последнюю, в этом случае, принято называть кластерной, состоящей из сотен и тысяч ионов [13, 14]. Молекулы воды довольно прочны, но их небольшая часть диссоциирует:  $H_2O=H^++OH^-$ .

Свободный приток  $H^+$  не может существовать в водной среде. Он немедленно присоединяется к молекуле воды и образует гидроксоний  $H_3O^+$ . Объединение последнего с гидроксидом  $OH^-$  образует две молекулы воды

$2H_2O$ . Есть и другие схемы образования молекул воды в воде [15]. Полнота молекула воды может распадаться на  $H_2$  и  $O_2$  при  $T = 1773.16\text{ K}$ .

Нами из двух групп смешанных моделей воды (кластерные и клатратные), положена за основу модель в виде кластеров (молекулы связаны водородными связями) и ассоциатов (со связями Ван-дер-Ваальса), находящихся в постоянном взаимодействии, как между собой, так и со структурирующей твердой фазой капиллярно-пористого тела. При этом воздействие на воду распространяется эстафетным путем на тысячи межатомных расстояний. Как правило, для объяснения экспериментальных данных используют двухструктурные модели, предполагающие одновременное присутствие в свободной воде льдоподобной и плотноупакованной структур [13, 14]. Наибольшее распространение среди кластерных моделей получила модель Г. Немети и Х. Шераги. В этом случае кластеры «как бы плавают» в море несвязанных молекул свободной воды [13], в которой влияние структурирования жидкости твердой фазой пористого тела по С.В. Зенину не учитывалось [16, 17]. Полагаем, что для объяснения максимума плотности свободной воды может подойти и кластерно-фрактальная модель воды [13].

Таким образом, для качественной оценки аномальных свойств воды используется разработанная нами технологическая модель, построенная по аналогии с механикой сплошных сред, на представлении жидкости, состоящей из двух сортов частиц. При этом в качестве обобщающего фактора используется плотность связанной воды [2, 3, 8] с учетом ее структурирования твердой фазой пористого торфа.



**Рис. 1. Схема зависимости плотности жидкости (графики: 2, 3, 4, 4', 5) и концентрации кластеров (график 1) от температуры сушки торфа: 1, 2, 3 – свободная вода, 4, 4', 5 – связанная; 4 – первый, 5 – второй периоды структурообразования; 2 – табличные значения, 3 –  $\rho_w = 1 \cdot 10^3 \frac{\text{кг}}{\text{м}^3}$  при  $T = 277.14\text{K}$ ; А, Б, В, Г – характерные точки кривой  $\rho_w = f(T)$**

### Экспериментальная часть

Этот раздел построен на экспериментальных исследованиях, выполненных в работах [2, 7, 8], а также и в более ранних [18, 19], в которых рассматривались зависимости прочности  $R_i$  цилиндрических образцов (на сжатие) в функции влагосодержания  $W$ , температуры  $T$ , плотности сухого вещества  $\gamma_c$  [ $R_i = f(W, T_i, \gamma_c)$ ], с погрешностью 5...10% для каждого из двух периодов структурообразования ( $i = 1, 2$ ) диаметром 40—60 мм и длиной  $l = (1.5 - 2.0)d$ . Для анализа на прочность вырезалась центральная часть образца  $l = (1.0 - 2.0)d_i$ , что позволило исключить влияние краевого

эффекта. Раздавливание образцов проводилось на лабораторном прессе.

Применительно к выбранной модели жидкости, проводились так же исследования сферических частиц различного диаметра, которые были получены методом окатывания на тарельчатом грануляторе диаметром один метр. Последние позволяли методом прессования создать цилиндрические образцы из частиц сферической формы различного диаметра ( $d_i = \text{const}$ ), а также из их смеси, которые ставились на сушку при конвективном теплоподводе ( $T = 293\text{K}$ ,  $\phi = 0.7 - 0.75$ ). В процессе сушки образцы разрушались на том же прессе и получали зависимость  $R_i = f(W)$ . Оказа-

лось, что  $R_i$  растет с уменьшением  $d_i$  (при  $W_i = \text{const}$ ). Особенно  $R_i$  возрастило в образцах, полученных из смеси различных по размерам сферических частиц, когда между крупными частицами размещались мелкие. Это обстоятельство позволяло повысить число связей  $N_i$  в сечении образца, а следовательно его прочность, при уменьшении числа дефектов структуры [18, 20, 21]

$$R_r = N_i \cdot P_i \cdot f_i \quad (1)$$

и плотность  $\rho_i$ , где  $P_i$  — прочность индивидуального контакта  $H$ ;  $N_i$  — число связей на единице сечения,  $\frac{1}{m^2}$ ;  $f_i$  — вероятность взаимодействия связи, которая для торфяных систем составляет:  $f_i = 1 - n' = 0.42 - 0.46$  [20], где  $n' = \frac{\Delta N}{N_0}$  — доля не участвующих, по различным причинам, во взаимодействии элементов структуры,  $N_0$  — максимально возможное число связей,  $\Delta N = N_0 - N_i$ .

Впервые этот технологический прием для торфяных систем был предложен Н.В. Чураевым [18]. Прочность (плотность) возрастает, из-за роста числа  $N_i$  контактов, при переходе от кубической к гексагональной укладке крупных частиц, что может иметь место, например, в структуре хлорида натрия ( $\text{Na}^+\text{Cl}^-$ ).

Следовательно, с помощью технологической модели, учитывающей активацию воды твердой фазой торфа сделаем попытку объяснить некоторые особенности ее аномальных свойств в свободном и связанном состояниях в торфяных системах.

### **Результаты и их обсуждение**

1. Свободная вода относится к слабым электролитам с высокой ди-

электрической проницаемостью, встречается в различных физических состояниях. Обладает дипольным моментом. Диполи соединены в ассоциаты, связи неустойчивы. Молекула воды может иметь четыре водородные связи. Особенности связей H и O определяют структуру и свойства воды с изменением термодинамических условий [7]. Колебание соотношения концентрации кластеров  $C_2$  и неассоциированных  $C_1$  или слабо ассоциированных молекул в зависимости от температуры  $T$  среды, определяет плотность  $\rho_{\text{ж}}$  воды.

Изменение  $C(T)$  и  $\rho_{\text{ж}}(T)$  (рис. 1 графики 2, 3) показывает, что при критической температуре ( $T_{\text{кр}} = 647.3\text{K}$ ) вода приобретает однородное статистическое состояние, определяемое неассоциированными молекулами (отсутствуют кластеры,  $C_2 = 0$ , рис. 2, точка A). При этом плотность, исходя из технологической модели, должна быть максимальной, вследствие возможного максимального числа контактов при минимальном размере элементов (молекул) структуры. Но этого не случается ( $\rho = 0.325 \cdot 10^3 \frac{\text{кг}}{\text{м}^3}$ ), из-за высокой ионной подвижности, которая зависит от природы иона, его массы, температуры, диэлектрической проницаемости, вязкости и концентрации  $C_i$  элементов структуры (кластеров) [22].

С понижением температуры, число статистически распределенных кластеров растет до  $C_2 \approx 30\%$  ( $T = 373.16\text{K}$ ) [7], что способствует повышению плотности до  $\rho_B = 0.97 \cdot 10^3 \frac{\text{кг}}{\text{м}^3}$  (рис. 1 график 1, точка B), т.е. «рыхлость» структуры понижается. Взаимодействие осуще-

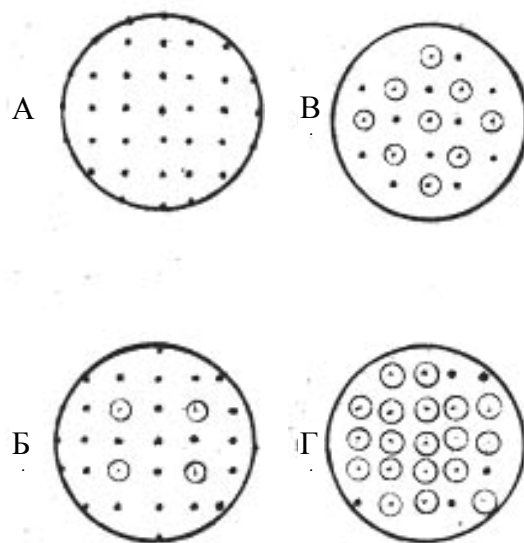
ствляется уже в неоднородной по структуре жидкости между кластерами через неассоциированные молекулы воды или непосредственно между ними с различной подвижностью элементов. Число неассоциированных молекул снижается.

При дальнейшем понижении температуры среднее статистическое значение плотности возрастает до максимума

$$(\rho_B = 1.0 \cdot 10^3 \frac{\text{кг}}{\text{м}^3},$$

$T = 277.14 \text{ K}$ , точка  $B$ ), из-за продолжающегося роста числа кластеров ( $C_2 \approx 70\%$ ), когда в их промежутках могут находиться неассоциированные молекулы. Это соотношение, как показано выше, дает максимальную плотность (прочность) структуры с понижением ее подвижности. Надо полагать, что это состояние подобно клатратно-фрактальной структуре [13].

С понижением температуры до  $T$  замерзания ( $T = 273.16 \text{ K}$ , точка  $\Gamma$ ) плотность уменьшается до  $\rho_\infty = 0.917 \cdot 10^3 \frac{\text{кг}}{\text{м}^3}$ , снижается подвижность системы, а в большей степени кластерной структуры. Причем, последняя должна иметь максимальное количество кластеров [15], что естественно не бывает из статистических проявлений дальних кулоновских и других взаимодействий между ними и частично оставшимися неассоциированными молекулами [23]. В работе [13] показано, что при плав-



**Рис. 2. Схема распределения неассоциированных молекул (черные точки) и кластеров (светлые кружки) [7] в характерных точках зависимости  $\rho_\infty = f(T)$ :** А – при критической температуре,  $T = 647.31 \text{ K}$ ; Б – при температуре кипения воды,  $T = 373.16 \text{ K}$ ; В – при максимальной плотности жидкости,  $T = 277.14 \text{ K}$ ; Г – при температуре замерзания свободной воды,  $T = 273.16 \text{ K}$ .

лении кристалла льда разрушается около 15 % всех водородных связей в талой воде, которые относятся к основной структурной единице жидкости. Значит можно предположить, что в точке  $\Gamma$  (рис. 1, график 2) остается  $C_2 = 85 \%$  кластеров. Тогда при максимальной плотности воды их должно быть около 70 %. Следовательно, как отмечалось выше, с увеличением размеров элементов структуры при понижении температуры, плотность системы падает, что и соответствует технологической модели. Надо полагать такое проявление структуры воды особенно около температуры замерзания (плавления) приводит к ее структурированию под действием активации твердой фазой тающего льда,

в которой сохраняется ближний порядок — связь молекулы воды с четырьмя соседними, присущий структуре льда [16, 17]. Это обстоятельство отличает талую воду от обычной наличием огромного количества много-полярных кластеров [13], обеспечивающих понижение плотности из-за роста элементов структуры, что также подтверждает нашу модель (рис. 2).

Если значение плотности

$$\rho_{\text{ж}} = 0.917 \cdot 10^3 \frac{\text{кг}}{\text{м}^3} \quad (T = 273.16\text{K})$$

экстраполировать на график 2 (рис. 1), а затем на график 1, то соответственно можно получить значение  $T = 411.16$  К при концентрации кластеров  $C_2 = 25\%$ , значительно меньшем, чем при Т замерзания воды. Это обстоятельство и принято называть в научной литературе, как жидкость с элементами льдоподобной структуры [13—15].

В этой связи плотность жидкости больше носит технологический характер, чем физико-химический, так как получаем одинаковую величину  $\rho_{\text{ж}}$  при разной ее структуре.

Последний участок ВГ графика 2 (рис. 1) определяет как бы подготовку кластерной структуры воды к образованию, из-за различной теплоемкости кластеров и неассоциированных молекул, неоднородной структуры льда (лед, термоохлажденная вода) на начальном этапе замораживания. Наибольшее переохлаждение  $T = 195.16$  К влаги можно получить в тонкопористых материалах [14, 16].

В случае быстрого замораживания, например, неассоциированных молекул (однородной структуры, точка А. (рис. 1, рис. 2), то по-видимому, можно создать и однородную, высоко прочную, бездефектнуюnanoструк-

туру пленок льда с повышенной плотностью.

2. Связанная вода, в отличие от свободной, находится во взаимодействии с твердой фазой, структурирующей прилегающие слои жидкости [16, 17] и участвующей в процессах тепломассопереноса по гетеропористой структуре, подверженной усадке, под действием капиллярно-осмотических сил при высушивании торфа [9, 19].

Таким образом, к двум факторам структуры свободной воды (размеры молекул  $d_1$ , кластеров  $d_2$ , их концентрации  $C_1$ ,  $C_2$ ) добавляется третий влияние активации твердой фазы на воду, находящуюся в связанном состоянии, обеспечивающем появление максимума плотности  $\rho_{\text{ж}} = f(T)$ , смещенного по температуре до  $T_m = (308—313)$  К и по величине —

$$\text{до значений } \rho_{\text{ж}} = 1.16 \cdot 10^3 \frac{\text{кг}}{\text{м}^3} \quad (i = 1)$$

$$\text{и } \rho_{\text{ж}} = 1.32 \cdot 10^3 \frac{\text{кг}}{\text{м}^3} \quad (i = 2) \quad (\text{рис. 1}$$

графики 4, 5). При этом если в первом периоде преобладают связи Вандер-Ваальса ( $i = 1$ ), то во втором ( $i = 2$ ) — водородные связи при переходе от большего влагосодержания  $W$ , к меньшему ( $T_i = \text{const}$ ). Экстраполяция зависимостей  $\rho_{\text{ж}} = f(T)$  в область низких температур дает значение плот-

$$\text{ности } \rho_{\text{ж}} = 0.917 \cdot 10^3 \frac{\text{кг}}{\text{м}^3} \quad (\text{рис. 1,}$$

графики 4, 5 сливаются в один). Надо полагать, т.к. второй период структурообразования ( $i = 2$ ) связан с удалением высокопрочной, в энергетическом плане, влаги, то температура замерзания будет ниже, чем у свободной жидкости и может достигать, как упоминалось выше, значительной

величины. При этом меняется и плотность замерзшей связанный влаги.

При повышении температуры ( $T_i > T_m$ ) число  $H$ -связей, взаимодействующих с центрами сорбции, уменьшается и при  $T_h = 343$  К водородные связи пропадают [18, 19, 24] (исчезает второй период структурообразования). После чего графики сливаются в один (график 4').

Дальнейшее повышение  $T_i$  определяет удаление жидкости при сушке с пониженной, по сравнению с  $H$ -связями, энергией (связи Ван-дер-Ваальса).

Следовательно, при  $T = (273-343)$  К преобладает оба вида связей, проявляющиеся неодинаково в обоих периодах структурообразования из-за изменения подвижности структуры материала и числа водородных связей. Надо полагать, что переход зависимости  $\rho_{\text{ж}} = f(T)$ , через  $\rho_0$  (график 3) будет обусловлен соотношением числа и энергией молекулярных связей с твердой фазой и подвижностью молекул воды, т.е. при  $T_i > 383$  К (график 4'). После чего  $\rho_{\text{ж}}$  в пористых материалах будет стремиться к плотности свободной воды при разных  $T_i$ . Причем подвижность  $\mu$  [22] определяется отношением средней направленной скорости  $U$  ионов, движущихся в электрическом поле, к его напряженности  $E$ ,

$$\mu = \frac{U}{E}. \quad (2)$$

Последняя связана с коэффициентом диффузии  $D$  и величиной заряда  $e$  электрона [5]

$$\frac{D}{\mu} = \frac{kT}{e}, \quad (3)$$

где  $k$ -const Больцмана. При этом  $\mu$  падает с ростом массы  $M_i$  элементов

структур и их статистической плотности распределения в заданном объеме.

В таком случае если в свободной воде при  $T = 373$  К остается 30 % кластеров, а полностью они исчезают при  $T = 647.31$  К [7], то в связанный воде (по наличию межмолекулярных водородных связей) они исчезают уже при  $T = 343$  К, что подтверждается исключением из процесса структурообразования второго периода ( $i = 2$ ) (рис. 1, график 5). Это обстоятельство снижает массу ассоциата до молекулярных размеров и повышает их подвижность и проникновение в пористую структуру твердой фазы, т.е. резко изменяет характеристики тепломассопереноса в пористых телах. Изменение положения максимума  $\rho_{\text{ж}} = f(T)$  в связанный воде по сравнению со свободной, выраженное в единицах удельной энергии

$$\Delta Q_i = R^* \Delta T_i,$$

в нашем случае, составляет  $\Delta Q_1 = 282.7$ , а по разрушению кластерной структуры,  $\Delta Q_2 = 2528.8 \frac{\text{Дж}}{\text{моль}}$ , где  $R^*$  — универсальная газовая постоянная,  $\Delta T_i$  — соответствующая разность температур ( $i = 1,2$  — рассматриваемые случаи).

В этой связи для рассмотренных условий структурообразования, интервал изменения плотности жидкости находится в соответствии с данными и для прочно-связанной воды глин [7], что соответствует нашим данным для второго периода структурообразования торфяных систем с физико-химической формой связи влаги [18–20].

Рассмотренные особенности поведения связанный воды обусловлены

структурой, определяющей плотность воды под воздействием различных структурирующих факторов, изменяющих ее физико-химические отличия от других жидкостей. Например, при замораживании (оттаивании), что имеет место для почв торфяных залежей и других природных влажных материалов; при различных способах поляризации, например, при сорбции молекул на твердую поверхность; при воздействии излучений: электрических, магнитных, гравитационных, биоэлектрических (излучение от клеток растений торфообразователей в воде); механических воздействиях (переработка торфа, его перемешивание, формование, сушка) и других способах активации, определяющих аномальные свойства воды. Как и для свободной воды одинаковое значение плотности жидкости можно получить при разных значениях  $T$ , т.е. различной структуре пористого тела (в обоих периодах структурообразования) для любых экстремальных зависимостей. Эта особенность поведения связанной жидкости определяется различной степенью активации ассоциированных (кластеров) и неассоциированных (молекул) различной концентрации элементов структуры при разных  $T_i$ . Следовательно, с позиции технологической модели выполняются схемы Б, В, Г при  $T < 343.16$  К. При больших  $T$  — схемы Б, А (рис. 2).

### Заключение

Показано обобщение свойств свободной и связанной воды с позиции качественной технологической модели с учетом анализа изменения обобщенного параметра их структуры — плотности жидкости. Полученные значения  $\rho_{\text{ж}} = f(T_i)$  ( $i = 1, 2$  — периоды структурообразования) резко отличаются между собой для свободной и связанной воды как по положению максимумов  $\rho_{\text{ж}} = f(T_i)$ , так и по их величине из-за отличия в концентрации кластеров и неассоциированных молекул, а также вследствие активации связанной воды твердой фазой гетеропористого торфа при положительных температурах. Отмечается, что глубокое переохлаждение если и возможно, то преимущественно для связанной воды ( $T = 195.16$  К) вследствие особенностей ее активирования твердой фазой торфа.

### СПИСОК ЛИТЕРАТУРЫ

1. Афанасьев А.Е. Влияние структурообразования на плотность жидкости коллоидных капиллярно-пористых тел. / А.Е. Афанасьев, А.С. Ефремов // ТОХТ. 2011. Т. 45. № 1. С. 119—125.
2. Афанасьев А.Е., Ефремов А.С. Патент RU 2380683 С. 1. Б.И., 2010. № 3. Способ определения средней плотности связанной жидкости коллоидных и капиллярно-пористых тел.
3. Ефремов А.С. Оценка плотности связанной жидкости коллоидных капиллярно-пористых тел при сушке / А.С. Ефремов // Вестник ТГТУ: научный журнал. Тверь: ТГТУ. 2010. Вып. 16. С. 10—16.
4. Афанасьев А.Е. Взаимосвязь структурообразования с плотностью жидкости коллоидных капиллярно-пористых тел при сушке / А.Е. Афанасьев, А.С. Ефремов // ГИАБ. М.: МГТУ. 2010. С. 307—314.
5. Лиштван И.И. Физика и химия торфа / И.И. Лиштван, Е.Т. Базин, Н.И. гамаюнов, А.А. Терентьев. М.: Недра, 1989.
6. Ревезенский В.М. К вопросу об определении прочности одиночных контактов при сдвиговом разрушении дисперсных систем В.М. Ревезенский // Коллоид. журн. 1984. Т. 46. № 5. С. 941.
7. Российская угольная энциклопедия. В 3 т. Т. 1 (А — И). М. — СПб.: Изд-во

- СПб. картографической фабрики ВСЕГЕИ, 2004.
8. Горная энциклопедия / Гл. ред. Е.А. Козловский Т. 1. М.: Сов. Энциклопедия, 1984.
9. Афанасьев А.Е. Физико-технологическое обоснование тепловых свойств торфа / А.Е. Афанасьев, Ю.Л. Ковальчук. 1-е изд. Тверь: ТГТУ, 2009.
10. Смирнов В.И. Практическое руководство по организации добычи фрезерного торфа: учебное пособие / В.И. Смирнов, А.Н. Васильев, А.Е. Афанасьев, А.Н. Болтушкин: под ред. В.И. Смирнова. 1-е изд. Тверь: ТГТУ, 2007.
11. Гамаюнов Н.И. Сорбция в гидрофильтральных материалах / Н.И. Гамаюнов, С.Н. Гамаюнов. Тверь: ТГТУ, 1997.
12. Афанасьев А.Е. Моделирование пропитки коллоидных капиллярно-пористых тел различной кислотности дисперсной среды / А.Е. Афанасьев, О.В. Пухова, А.В. Волков // ГИАБ. М.: МГТУ. 2004. № 2. С. 154—157.
13. Мосин О.В. Структурированная вода и способы ее получения [Электронный ресурс] // Все о воде: [сайт] / О.В. Мосин, 2009. Режим доступа: [http://www.o8ode.ru/article/water/ctruktura\\_i\\_fizi4eckie\\_cvoictva\\_vody.htm](http://www.o8ode.ru/article/water/ctruktura_i_fizi4eckie_cvoictva_vody.htm)
14. Химический энциклопедический словарь / гл. ред. И.Л. Куняц /. М.: Сов. Энциклоп., 1983. С. 57.
15. Свойства воды [электронный ресурс] // Chemworld.narod.ru, 2010. Режим доступа: <http://chemworld.narod.ru/public/water.html>
16. Зенин С.В. Природа гидрофобного взаимодействия. Возникновение ориентационных полей в водных растворах / С.В. Зенин, Б.В. Тяглов. // Физ. химия. 1994. Т. 68. № 3. С.500—503.
17. Зенин С.В. Экспериментальное доказательство наличия фракций воды / С.В. Зенин, Б.М. Поланцев, Б.В. Тяглов. // Гомеопатическая медицина и акупунктура. 1997. № 2. С. 42—46.
18. Афанасьев А.Е. Структурообразование коллоидных и капиллярно-пористых тел при сушке: МОНОГРАФИЯ / А.Е. Афанасьев. Тверь: ТГТУ, 2003.
19. Афанасьев А.Е. Оптимизация процессов сушки и структурообразования в технологии торфяного производства / А.Е. Афанасьев, Н.В. Чураев. М.: Недра, 1992.
20. Афанасьев А.Е. Контактные взаимодействия между частицами при обезвоживании коллоидных капиллярно-пористых торфяных тел / А.Е. Афанасьев // Коллоид. журн. 1991. Т. 53. № 3. С. 425.
21. Яминский В.В. Коагуляционные коагуляции в дисперсных системах / В.В. Яминский, В.А. Пчелин, Е.А. Амелина, Е.Д. Щукин. М.: МГУ, 1985.
22. Физический энциклопедический словарь. М.: Советская энциклопедия. 1984.
23. Шавлов А.В. Лед при структурных превращениях / А.В. Шавлов. Новосибирск: Наука. Сибирская издательская фирма РАН, 1996. 188 с.
24. Дерягин Б.В. Поверхностные силы / Б.В. Дерягин, Н.В. Чураев, В.М. Муллер. М.: Наука, 1985.
25. Наумович В.М. Искусственная сушка торфа / В.М. Наумович. М.: Недра, 1984.
26. Телеснин Р.В. Молекулярная физика / Р.В. Телеснин. М.: Высшая школа. 1973. ГИАБ

## КОРОТКО ОБ АВТОРАХ

Афанасьев Алексей Егорович – профессор, доктор технических наук,  
 Ефремов Алексей Сергеевич –  
 Тверской государственный технический университет, [info@tstu.tver.ru](mailto:info@tstu.tver.ru)

